

## ОСЕСИМЕТРИЧНА ЗАДАЧА ТЕРМОПЛАСТИЧНОСТІ ДЛЯ КУСКОВО-ОДНОРІДНОГО КІЛЬЦЯ

Наведено аналітичний підхід до визначення і дослідження осесиметричного термопластичного стану кусково-однорідних кілець, що перебувають в умовах нестационарного нагріву. Виконано розрахунок термопластичного стану дво- та тришарових кільцевих пластин. Проілюстровано ефективність підходу у випадку, коли межа текучості залежить від температури, на прикладі задачі про знаходження залишкових напружень стиску у пластині при локальному нагріві нормально-круговим джерелом тепла.

Розглянуто осесиметричну задачу про визначення нестационарного температурного поля і термопластичних напружень у кусково-однорідному кільці, що нагрівається шляхом теплообміну із зовнішнім середовищем. Відомо, що нагрівання тіла може призвести до виникнення значних напружень у ньому, які, в свою чергу, зумовлюють пластичне деформування. Характер розподілу температурних напружень у кусково-однорідних кільцевих пластинках за пружного деформування при конвективному теплообміні з середовищем змінної в часі температури вивчено у [6]. У роботі [7] розроблено аналітичний метод побудови розв'язків плоских задач теорії пружності та термопружності для кільцевих областей як у випадку однорідного матеріалу, так і за довільної залежності його властивостей від радіальної координати. У [8] цей метод поширено на випадок циліндрично ортотропно неоднорідного матеріалу. Там же наведено доволі широкий огляд літератури, присвяченої проблемі визначення температурних полів і напружено-деформованого стану кільцевих областей. Задачі термопластичності досліджено значно менше з огляду на їх нелінійність.

У роботі запропоновано аналітичний підхід до розв'язання сформульованої задачі термопластичності та проілюстровано його ефективність, зокрема для випадку, коли межа текучості залежить від температури.

**Основні співвідношення.** Розглянемо кусково-однорідне кільце  $a < r < b$  із межами  $r_0, \dots, r_N$  ( $r_0 = a$ ,  $r_N = b$ ), що перебуває в умовах нерівномірного нагріву, до меж якого прикладено зусилля  $\sigma_r(a) = p_a$ ,  $\sigma_r(b) = p_b$ . Позначимо через  $E_j$ ,  $\nu_j$ ,  $\alpha_{Tj}$ ,  $\lambda_j$  і  $B_j$  модуль пружності, коефіцієнт Пуассона, коефіцієнт температуропровідності, коефіцієнт теплопровідності і критерій Біо  $j$ -го шару відповідно. Межа текучості  $\sigma_T$  залежить від температури  $T$ :  $\sigma_T = \sigma_T(T)$ . Розглянемо випадок, коли внутрішня і зовнішня межі кільця нагріваються шляхом теплообміну за законом Ньютона із середовищами температури  $C_0$ ,  $C_N$  відповідно. Температура пластинки у початковий момент часу дорівнює нулеві. Температуру і пружні напруження для такої задачі визначено у [6]. Запишемо їх у вигляді

$$T = T(r, t), \quad \sigma_r^p = \sigma_r^p(r, t), \quad \sigma_\theta^p = \sigma_\theta^p(r, t), \quad (1)$$

де  $t = \frac{a_{T1}\tau}{a^2}$ ,  $\tau$  – час,  $\sigma_r^p$  і  $\sigma_\theta^p$  – радіальні та кільцеві напруження.

Приймемо, що в пластичній області напруження задовольняють умову Мізеса

$$\sqrt{\sigma_r^2 + \sigma_\theta^2 - \sigma_r \sigma_\theta} = \sigma_T(T).$$

Вважатимемо, що температура  $T$  визначена. Тоді залежну від температури межу текучості на  $j$ -му шарі запишемо як  $\sigma_T = \sigma_T(T(r)) = S_j(r)$ .

Як правило, максимальні напруження досягаються біля внутрішньої межі кільця, у зв'язку з чим у цій частині кільця виникає пластичність. Для розв'язування задачі пластичності розглянемо допоміжну задачу для однорідного нагрітого кільця  $a_1 < r < a_2$ , що перебуває у пружнопластичному стані. Прийmemo, що відомими є зусилля, які прикладені до межі  $a_1$ :  $\sigma_r(a_1) = p$ . Межа текучості залежить від температури  $\sigma_T = \sigma_T(T) = S(r)$ . Тоді для визначення напружень маємо рівняння [4]

$$\begin{aligned} \frac{d\sigma_r}{dr} &= -\frac{\sigma_r - \sigma_\theta}{r}, \\ \sqrt{\sigma_r^2 + \sigma_\theta^2 - \sigma_r\sigma_\theta} &= S(r), \end{aligned} \quad (2)$$

та умову  $\sigma_r(a_1) = p$ .

Позначимо розв'язок цієї задачі через

$$\sigma_r = F_r(r; a_1, a_2, p, S), \quad \sigma_\theta = F_\theta(r; a_1, a_2, p, S).$$

Введені функції будуть визначені нижче. Використаємо цей розв'язок для кусково-однорідного шару, прийнявши, що пластичність досягла  $m$ -го шару. Для розв'язування задачі послідовно будуємо функції

$$F_{r,\theta}(r; r_{j-1}, r_j, p_{j-1}, S_j), \quad r_{j-1} < r < r_j, \quad j = 1, \dots, m,$$

де  $p_j = \sigma_r(r_j)$ ,  $j = 0, 1, \dots$ . При  $j = 0$  маємо  $p_0 = p_a$ . Наступні значення  $p_j$  визначаємо за рекурентними формулами

$$p_j = F_r(r_j; r_{j-1}, r_j, p_{j-1}, S_j), \quad j = 1, \dots, m.$$

Нехай область пластичності досягла точки  $c$ ,  $a < c < b$ . Розглянемо область, яка лежить справа від точки  $c$  і перебуває у пружному стані.

Напруження у пружній області  $c < r < b$  подамо у вигляді суми часткового розв'язку задачі термопружності та загального розв'язку задачі для ненагрітого кільця. За частковий розв'язок у цій області приймаємо розв'язок (1) при  $r > c$ .

**Напруження у пружній області.** Для знаходження загального розв'язку задачі розглянемо довільне ненагріте кусково-однорідне кільце  $d_0 < r < d_M$  з межами поділу  $r = d_j$ ,  $j = 1, \dots, M - 1$ , до зовнішніх меж якого прикладено зусилля  $\sigma_r(d_0) = p_0$ ,  $\sigma_r(d_M) = p_M$ .

Напруження і переміщення у  $j$ -му шарі ( $d_{j-1} < r < d_j$ ) запишемо у вигляді [6]

$$\begin{aligned} \sigma_r &= \sigma_{j-1}s_{11}(r) + u_{j-1}s_{12}(r), \\ \sigma_\theta &= \sigma_{j-1}s_{31}(r) + u_{j-1}s_{32}(r), \\ u &= \sigma_{j-1}s_{21}(r) + u_{j-1}s_{22}(r), \end{aligned} \quad (3)$$

де

$$\begin{aligned} s_{11}(r) &= \frac{1}{2} \left[ (1 + \nu_j) + (1 - \nu_j) \frac{d_{j-1}^2}{r^2} \right], & s_{12}(r) &= \frac{E_j}{2} \left( \frac{1}{d_{j-1}} - \frac{d_{j-1}}{r^2} \right), \\ s_{21}(r) &= \frac{1 - \nu_j^2}{2E_j} \left( r - \frac{d_{j-1}^2}{r} \right), & s_{22}(r) &= \frac{1}{2} \left( (1 - \nu_j) \frac{r}{d_{j-1}} + (1 + \nu_j) \frac{d_{j-1}}{r} \right), \\ s_{31}(r) &= \frac{1}{2} \left[ (1 + \nu_j) - (1 - \nu_j) \frac{d_{j-1}^2}{r^2} \right], & s_{32}(r) &= \frac{E_j}{2} \left( \frac{1}{d_{j-1}} + \frac{d_{j-1}}{r^2} \right), \end{aligned} \quad (4)$$

$\sigma_{j-1}$ ,  $u_{j-1}$  – радіальні напруження і переміщення на внутрішній межі шару, причому  $\sigma_0 = p_0$ ,  $\sigma_M = p_M$ .

Введені величини визначаємо за співвідношеннями [6]

$$\begin{pmatrix} \sigma_j \\ u_j \end{pmatrix} = C_j \begin{pmatrix} \sigma_0 \\ u_0 \end{pmatrix}, \quad j = 1, \dots, M, \quad (5)$$

де

$$C_j = S_j * S_{j-1} * \dots * S_1, \quad S_j = \begin{pmatrix} s_{11}(r_j) & s_{12}(r_j) \\ s_{21}(r_j) & s_{22}(r_j) \end{pmatrix}, \quad j = 1, \dots, M.$$

Невідому  $u_0$  визначимо, поклавши у співвідношеннях (5)  $j = M$ :

$$\begin{pmatrix} \sigma_0 \\ u_0 \end{pmatrix} = D \begin{pmatrix} \sigma_0 \\ \sigma_M \end{pmatrix}, \quad D = \begin{pmatrix} 1 & 0 \\ -\frac{C_{M,11}}{C_{M,12}} & \frac{1}{C_{M,12}} \end{pmatrix},$$

Напруження при  $d_{j-1} < r < d_j$  набудуть вигляду

$$\begin{pmatrix} \sigma_r \\ \sigma_\theta \end{pmatrix} = \begin{pmatrix} s_{11} & s_{12} \\ s_{31} & s_{32} \end{pmatrix} \begin{pmatrix} \sigma_{j-1} \\ u_{j-1} \end{pmatrix} = Q \begin{pmatrix} \sigma_0 \\ \sigma_M \end{pmatrix}, \quad Q = \begin{pmatrix} s_{11} & s_{12} \\ s_{31} & s_{32} \end{pmatrix} C_{j-1} D,$$

Знайдені пружні напруження при  $d_{j-1} < r < d_j$  запишемо ще у вигляді

$$\begin{aligned} \sigma_r &= p_0 R_1(r, d_0, d_M) + p_M R_2(r, d_0, d_M), \\ \sigma_\theta &= p_0 T_1(r, d_0, d_M) + p_M T_2(r, d_0, d_M), \end{aligned} \quad (6)$$

де  $R_{1,2}$ ,  $T_{1,2}$  – елементи матриці  $Q$ :

$$\begin{pmatrix} R_1 & T_1 \\ R_2 & T_2 \end{pmatrix} = Q.$$

Переміщення у кільці будуть

$$E(r)u = p_0 U_1(r, d_0, d_M) + p_M U_2(r, d_0, d_M), \quad (7)$$

де  $U_j = r[T_j - \nu_j R_j]$ .

**Розв'язування задачі термопластичності.** Запишемо пружні напруження при  $r > c$  у вигляді

$$\begin{aligned} \sigma_r &= \sigma_r^p(r, t) + [p_c - \sigma_r^p(c, t)]R_1(r, c, b), \\ \sigma_\theta &= \sigma_\theta^p(r, t) + [p_c - \sigma_r^p(c, t)]T_1(r, c, b), \end{aligned}$$

де  $p_c = F_r(c; r_{m-1}, r_m, p_{m-1}, S_m)$ , функції  $R_1$ ,  $T_1$  будуємо стосовно до фрагменту  $c < r < b$  заданого кусково-однорідного кільця.

При записаному таким чином розв'язку радіальні напруження є неперервними при переході через точку  $c$ . Вимагаючи, щоб неперервними були в цій точці і кільцеві напруження, для знаходження точки  $c$  отримуємо рівняння

$$\begin{aligned} F_\theta(c; r_{m-1}, r_m, p_{m-1}, S_m) &= \sigma_\theta^p(r, t) + \\ &+ [F_r(c; r_{m-1}, r_m, p_{m-1}, S_m) - \sigma_r^p(c, t)]T_1(r, c, b). \end{aligned} \quad (8)$$

Таким чином, розв'язок задачі виражено через допоміжні функції  $F_r$ ,  $F_\theta$ .

**Визначення допоміжних функцій.** Визначимо функції  $F_r(r; a_1, a_2, p, S)$ ,  $F_\theta(r; a_1, a_2, p, S)$  при  $S = \sigma_T$ . Розглянемо спочатку випадок, коли межа текучості  $\sigma_T$  не залежить від температури. Тоді напруження у пластичній об-

ласті визначатимуться за формулами [4, 5]

$$\sigma_r = \frac{2}{\sqrt{3}} \sigma_T \cos \varphi, \quad \sigma_\theta = \frac{2}{\sqrt{3}} \sigma_T \cos \left( \varphi - \frac{\pi}{3} \right), \quad (9)$$

де  $\varphi = \varphi(r)$ .

Функція  $\varphi$  є оберненою до функції

$$r = a_1 \exp \left( \frac{\sqrt{3}}{2} (\varphi_1 - \varphi) \right) \sqrt{\frac{\sin \left( \varphi_1 - \frac{\pi}{6} \right)}{\sin \left( \varphi - \frac{\pi}{6} \right)}}, \quad (10)$$

де  $\varphi_1 = \arccos \frac{\sqrt{3}}{2} \frac{p_a}{\sigma_T}$ , причому вибирається та вітка  $\arccos x$ , на якій знайдені за формулою (10) напруження  $\sigma_\theta$  при  $r = a$  узгоджуються з відповідними пружними напруженнями.

Тоді для визначення функцій  $F_r$ ,  $F_\theta$  маємо такі формули:

$$F_r = \frac{2}{\sqrt{3}} S \cos \varphi(r), \quad F_\theta = \frac{2}{\sqrt{3}} S \cos \left( \varphi(r) - \frac{\pi}{3} \right).$$

У загальному випадку, коли межа текучості описується неперервною функцією координат, задача знаходження функцій  $F_r$ ,  $F_\theta$  зводиться до розв'язання диференціально-алгебраїчної системи рівнянь (2). Для її розв'язування безпосередньо можуть бути використані прикладні програми, створені в математичних пакетах (зокрема, в системі Matlab) і базуються на зведенні системи рівнянь (2) до системи диференціальних рівнянь з виродженою матрицею мас.

**Результати розрахунків.** Обчислення виконано для двошарового кільця  $1 < r/a < 2.5$ , внутрішній шар якого виготовлено із дюралюмінію, зовнішній – сталь, межа поділу матеріалів  $r_1/a = 1.75$ . Коефіцієнти Пуассона для обох матеріалів покладали рівними 0.3.

Для сталі модуль пружності, коефіцієнт лінійного теплового розширення, коефіцієнти теплопровідності та температуропровідності приймали такими:  $E = 2.1 \cdot 10^5$  МПа,  $\alpha = 12 \cdot 10^{-6}$  К<sup>-1</sup>,  $\lambda = 58.15$  Вт/(м · К),  $a_T = 1.28 \cdot 10^{-5}$  м<sup>2</sup>/с. Для дюралюмінію приймали  $E = 7.2 \cdot 10^4$  МПа,  $\alpha = 25 \cdot 10^{-6}$  К<sup>-1</sup>,  $\lambda = 159.3$  Вт/(м · К),  $a_T = 6.1 \cdot 10^{-5}$  м<sup>2</sup>/с.

За часову координату приймали  $t = \frac{a_{T1} \tau}{a^2}$ . Критерій Біо [1, 6] для першого шару покладали  $Bi_1 = 0.1$ . Коефіцієнт тепловіддачі з бічних поверхонь приймали однаковим для всіх шарів, а тому для інших шарів критерії Біо визначали за формулою  $Bi_j = Bi_1 / \lambda'_j$ , де  $\lambda'_j = \lambda_j / \lambda_1$ . Вважали, що температура середовищ, з якими контактують внутрішня і зовнішня межі кільця відповідно дорівнюють  $f_0 = C$ ,  $f_N = 0$ ,  $C = \text{const}$ , тобто нагрів односторонній. Критерії Біо для внутрішньої і зовнішньої меж кільця приймали  $Bi_L = 0.5$  і  $Bi_P = 0.1$ . Пружні температурні напруження визначали на основі алгоритму, наведеного в роботі [6].

Розраховані величини для випадку кільцевої пластинки із зовнішнім сталевим шаром при значенні часової координати  $t = 20$  с і при  $C = 400$  °С,  $\sigma_{T1} = 150$  МПа наведено на рис. 1. Тут і на рис. 2, рис. 3 кривим 1 і 2 відповідають радіальні і кільцеві напруження, знайдені у пружнопластичній постановці задачі, а кривим 1' і 2' – напруження, знайдені в пружній постановці. Крива T відповідає температурі (°, С).

Обчислені температура й напруження, виконані для часу  $t = 25$  с, практично не відрізняються від наведених на рис. 1. Звідси випливає, що знайдені напруження є усталеними при заданих умовах нагріву.

Аналогічні результати для випадку, коли внутрішній шар є сталевим, а зовнішній – із дюралюмінію, при  $f_0 = 0$ ,  $f_N = C = 450$  °С (нагрівання ззовні),  $t = 30$  с, критеріях Біо для внутрішньої і зовнішньої меж кільця  $Bi_L = 0.1$  і  $Bi_P = 0.5$ , межею текучості для сталі  $\sigma_T = 200$  МПа наведено на рис. 2.

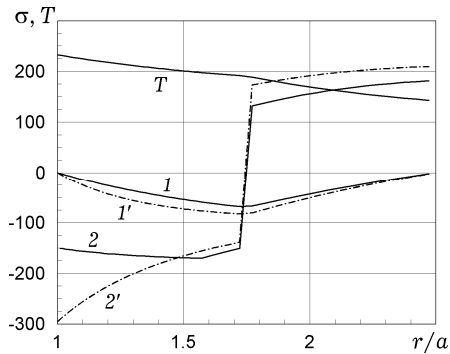


Рис. 1

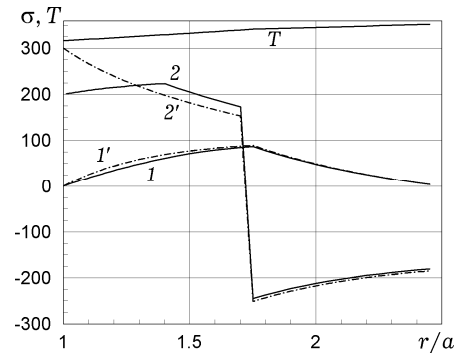


Рис. 2

Розв'язок, обчислений у момент часу  $t = 35$  с, практично не відрізняється від наведеного на рис. 2, тобто знайдені напруження є усталеними.

Розглянуто також тришарову кільцеву пластинку  $1 < r/a < 2.5$  із дюралюмінієвими шарами  $1 < r/a < 1.25$  і  $2.25 < r/a < 2.5$  та сталевим шаром  $1.25 < r/a < 2.25$  при нагріванні через внутрішню межу середовищем з температурою  $C = 250$  °С. Розраховані напруження і температура при  $t = 20$  с наведено на рис. 3.

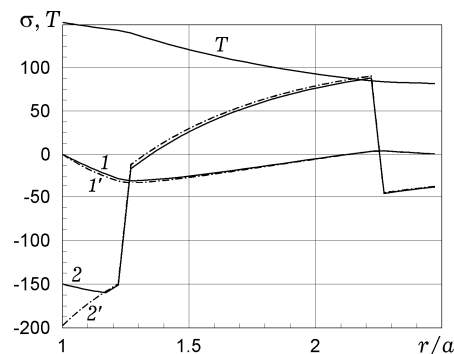


Рис. 3

**Нагрів пластинки нормально-круговим джерелом тепла.** Розглянуто пластинку  $-h < z < h$ , що нагрівається шляхом двостороннього теплообміну при  $z = \pm h$  із середовищем, температура якого описується нормально-круговим законом  $T_c = T_0 \exp(-kr^2)$ ,  $T_0$  – максимальна температура,  $k$  – коефіцієнт, який характеризує зосередженість нагріву. Будемо розглядати пластинку великих розмірів. Для цього випадку співвідношення для визначення температури і пружних напружень наведено в [1]. Такий нагрів, зокрема, використовують з метою створення залишкових напружень стиску біля концентраторів напружень. При такому нагріві у центральній області в процесі нагрівання виникають високі температури, які істотно зменшують межу текучості.

З метою використання розробленого вище підходу розглянемо пластинку  $r > a$  при  $a \ll h$ , на межі якої (при  $r = a$ ) за пружного деформування діють напруження  $\sigma_r = -E\alpha T/2$ . Тут враховано, що у нескінченній пластинці  $\sigma_r + \sigma_\theta = -E\alpha T$  та при осесиметричному нагріві суцільної пластинки в центрі  $\sigma_r = \sigma_\theta$ . При пружнопластичному деформуванні при  $r = a$  покладали  $\sigma_r = \sigma_\theta = -\sigma_T(T(a))$ .

Обчислення виконано з урахуванням залежності межі текучості для сталі від температури (див. табл. 1).

Таблиця 1

$T, ^\circ\text{C}$	0	200	300	400	500	600
$\sigma_T, \text{МПа}$	250	243	214	180	193	170

При розрахунках приймали  $a_T = 1.17 \cdot 10^{-5} \text{ м}^2/\text{с}$ ,  $h = 0.004 \text{ м}$ ,  $Bi = 0.1$ ,  $k = 500 \text{ м}^{-2}$ ,  $T_0 = 1100 \text{ }^\circ\text{C}$ ,  $E = 2.07 \cdot 10^5 \text{ МПа}$ ,  $\alpha = 12 \cdot 10^{-6} \text{ К}^{-1}$ .

Виконано розрахунки термопластичного стану пластинки, коли час нагріву становив  $\tau_0 = 30 \text{ с}$ . На рис. 4а зображено температуру ( $^\circ\text{C}$ ), а на рис. 4б – пружні напруження ( $\sigma$ , МПа) у кінцевий момент нагріву. Пружнопластичні напруження у кінцевий момент нагріву наведено на рис. 5.

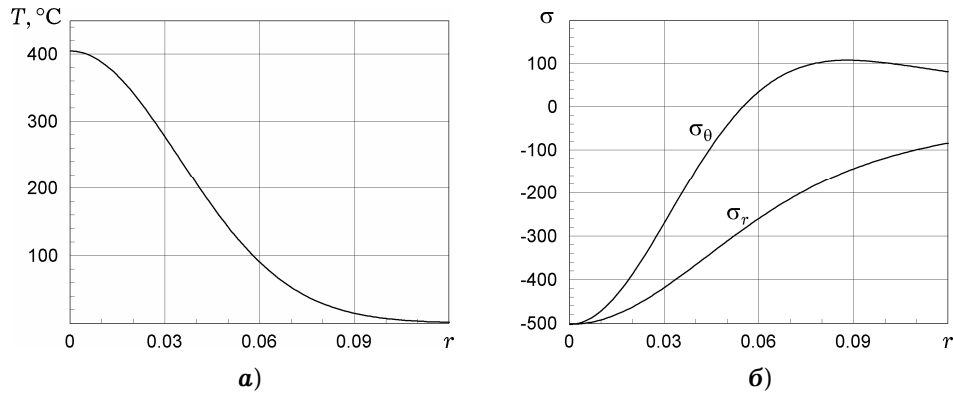


Рис. 4

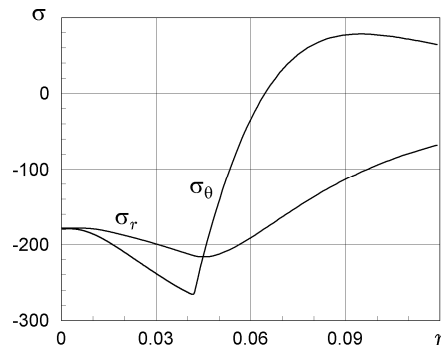


Рис. 5

Основний інтерес становить задача про знаходження залишкових напружень. Їх визначали з урахуванням того, що при охолодженні також відбувається пластичне деформування. Розраховані залишкові напруження наведено на рис. 6 крапками. Тут кривим 1 відповідають напруження  $\sigma_r$ , а кривим 2 –  $\sigma_\theta$ . Серед розрахованих напружень основними, що визначають ефективність локального нагріву, є максимальні стискувальні напруження,

які у цьому випадку дорівнюють  $\sigma_{\theta \max} = -133.6$  МПа і досягаються на відстані  $r = 0.042$  м від центру нагріву. Залишкові напруження, визначені наближено за теоремою Ільюшина (без урахування пластичного деформування при охолодженні), зображено штриховими кривими 1', 2'. Ці напруження дещо відрізняються від строгіше знайдених у центральній частині, однак є достатньо точними в областях, де має місце стиск.

Для контролю за точністю розрахунків цю ж задачу як двовимірну розв'язано числовим методом, що базується на методі інтегральних рівнянь і теорії текучості [2]. Розраховані залишкові напруження за цим підходом наведено суцільними лініями 1, 2 на рис. 6. Видно, що напруження, знайдені за різними підходами, практично збігаються. Всі графіки обчислено для часу нагріву  $\tau_0 = 30$  с.

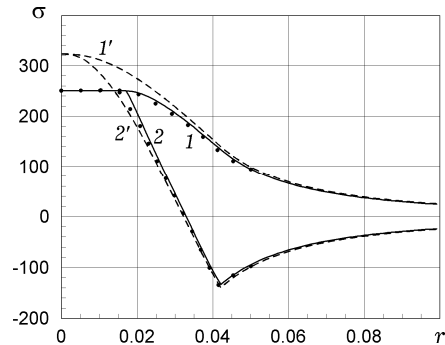


Рис. 6

Вибір параметрів нагріву проведено так, щоб стискувальні напруження були максимально можливими. Оптимальним з цієї точки зору виявився випадок, коли час нагріву становив  $\tau_0 = 60$  с. Розраховані залишкові напруження наведено на рис. 7.

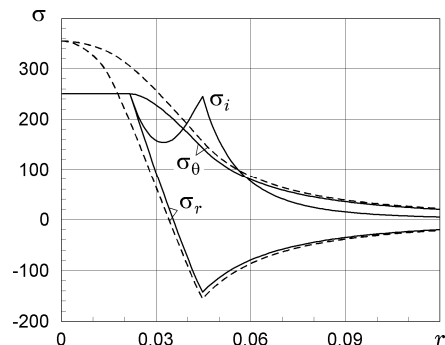


Рис. 7

На рис. 7 наведено також  $\sigma_i$  – інтенсивність напружень, яка виявилась не більшою від  $\sigma_T$ , що підтверджує достовірність знайдених залишкових напружень. Максимальними виявились залишкові напруження  $\sigma_{\theta} = -142.9$  МПа при  $r = 0.045$  м. У той же час максимальні значення, які можуть виникати при такому нагріві, дорівнюють [3]  $\sigma_{\theta \max} = -\sigma_T/\sqrt{3} = -144.33$  МПа. Зазначимо, що запропонований підхід для визначення стискувальних напружень є простим у реалізації і практично точним (у підході, наведеному в [2], використовується розбиття області пластичності на підобласті малих розмірів, а тому точність розрахунків необхідно додатково контролювати).

**Висновки.** Запропоновано аналітичний підхід до визначення осесиметричного термопластичного стану кусково-однорідних кілець, що перебувають в умовах нестационарного нагріву. Розглянуто кільця, що виготовлені з ідеально-пластичних матеріалів зі сталими та залежними від температури межами текучості. Проведено розрахунок термопластичного стану дво- та тришарових кілець. Розглянуто задачу про створення залишкових напружень стиску за допомогою локального нагріву нормально-круговим джерелом тепла.

1. Коляно Ю. М., Бернар И. И. Температурные напряжения в пластине при двусторонней лазерной обработке // Проблемы прочности. – 1983. – № 5. – С. 36–38.
2. Максимович В. Н., Хомляк Л. В. Численно-аналитическое решение задачи термопластичности для локально нагреваемых пологих оболочек // Изв. АН СССР. Механика твердого тела. – 1988. – № 5. – С. 126–132.
3. Максимович В. Н., Чабаненко А. А., Михеев П. П., Гуца О. И. Определение параметров местного нагрева для повышения сопротивления усталости сварных соединений // Проблемы прочности. – 1985. – № 4. – С. 32–36.
4. Мамин Н. Н. Прикладная теория пластичности и ползучести. – Москва: Высш. шк., 1975. – 400 с.
5. Писаренко Г. С., Можаровский М. С. Уравнения и краевые задачи теории пластичности и ползучести. – Киев: Наук. думка, 1981. – 496 с.
6. Соляр Т. Я. Визначення нестационарних температурних полів і напружень у кусково-однорідних кільцевих пластинках на основі чисельно-аналітичної формули обернення перетворення Лапласа // Мат. методи та фіз.-мех. поля. – 2009. – **52**, № 3. – С. 201–208.  
The same: Solyar T. Ya. Determination of nonstationary temperature fields and stresses in piecewise homogeneous circular plates on the basis of a numerical-analytic Laplace inversion formula // J. Math. Sci. – 2010. – **171**, No. 5. – P. 673–681.
7. Tokovyy Y. V., Ma C.-C. Analytical solutions to the planar non-axisymmetric elasticity and thermoelasticity problems for homogeneous and inhomogeneous annular domains // Int. J. Eng. Sci. – 2009. – **47**, No. 3. – P. 413–437.
8. Tokovyy Y. V., Ma C.-C. Thermal stresses in anisotropic and radially inhomogeneous annular domains // J. Therm. Stresses. – 2008. – **31**, No. 9. – P. 892–913.

#### ОСЕСИММЕТРИЧНАЯ ЗАДАЧА ТЕРМОПЛАСТИЧНОСТИ ДЛЯ КУСОЧНО-ОДНОРОДНОГО КОЛЬЦА

Приведен аналитический подход к определению и исследованию осесимметричного термопластического состояния кусочно-однородных колец, которые находятся в условиях нестационарного нагрева. Выполнен расчет термопластического состояния двух- и трехслойных кольцевых пластин. Проиллюстрирована эффективность подхода для случая, когда граница текучести зависит от температуры, на примере задачи об определении в пластине остаточных напряжений сжатия при локальном нагреве нормально-круговым источником тепла.

#### AN AXISYMMETRIC THERMOPLASTICITY PROBLEM FOR A PIECEWISE-HOMOGENEOUS RING

An analytical approach is developed for the determination and analysis of the axisymmetric thermoplastic state in piecewise-homogeneous annuli subjected to the non-stationary heating. The calculation is carried out for the thermoplastic state of two- and three-layer rings. The efficiency of our approach is illustrated for the case when the yield point depends on the temperature, on the example of problem on determination in a plate the compressive residual stresses due to the local heating by a normal-circular heat source.

<sup>1</sup> Луцьк. держ. техн. ун-т, Луцьк,

<sup>2</sup> Ін-т прикл. проблем механіки і математики  
ім. Я. С. Підстригача НАН України, Львів

Одержано  
26.05.14